Windsor-PP COLDSPRINGS WINDSOR-PP

0200HO13467 HANX-P x UPSWING x BASIC

GENOMAX POLLED A2A2

SIEMERS HANAN HANX-P
COLDSPRINGS MIAMI 13437
PEAK UPSWING
COLDSPRINGS BASIC 11477 EX-90-3YR-USA
BLUMENFELD FRAZLD BASIC
COLDSPRINGS DENVER 7239 VG-86-3YR-USA

GTPI 2970

TD TR TL TY MWT TV 99%-I — HH1F HH2F HH3F HH4F HH5F HH6F HCDF HMWF

Reg. #: HO840M3250035449 | aAa: 243165 | DMS:
Nacimiento: 03/30/2024 | Caseina Kappa: BB | Caseina Beta: A2A2

PRODUCCIÓN
G Hatos G Hijas 80% Conf. — CDCB-G / 08-25

Leche lbs	Grasa lbs	Grasa %	Proteina lbs	Proteina %
718	**39**	**+0.03**	**33**	**+0.04**
NM$ **419**	CM$ **438**	FM$ **376**	GM$ **386**	DWP$ **362**
Eficiencia de Conversiòn	IR	Comida Ahorrada	Eficiencia Metano	Milking Speed
137	**-66**	**64**	**103**	**6.88**

SALUD Y FERTILIDAD
Inmunidad 99

Vida Productiva	**1.9**	Inmunidad de los terneros	**102**
SCS	**2.85**	Tasa Preñez Vacas	**-1.1**
Tasa de preñez de las hijas	**-1.3**	Tasa Preñez Novillas	**0.5**
Supervivencia	**-1.2**	Facilidad del Parto	**1.7%** 63% Conf.
Durabilidad Novillas	**1.5**	Facilidad del Parto - Hijas	**1.5%** 57% Conf.
Índice de Fertilidad	**-1.1**	Nacen Muertas	**3.9%**
		Hijas con crías muertas	**3.4%**

CONFORMACIÓN
G Hatos G Hijas 79% Conf. — HAUSA-G / 08-25

PTA Tipo	**1.79**	Compuesto Corporal	**0.01**
Compuesto de Ubres	**1.35**	Compuesto Lechero	**1.02**
Compuesto de Patas y Pezuñas	**0.84**		

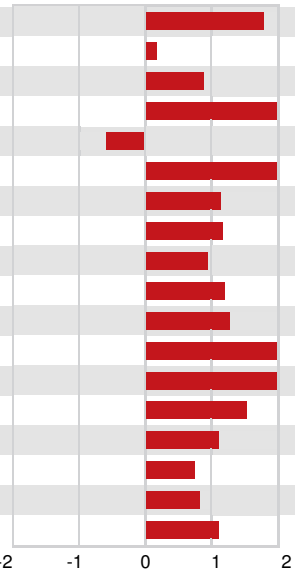

Estatura	Alta	**+1.80**
Fortaleza	Fuerte	**+0.16**
Prof. Corporal	Profunda	**+0.91**
Forma Lechera	Angular	**+2.08**
A. de la Grupa	Isquiones Altos	**-0.61**
Amplitud de Grupa	Ancha	**+2.27**
Vista Lat. P. Traseras	Curvas	**+1.15**
Patas Traseras, Vista de Atrás	Corvejónes Rectos	**+1.18**
Ang. Talón	Alto	**+0.96**
Compuesto de Patas y Pezuñas	Alto	**+1.20**
Inserción ubre Delantera	Fuerte	**+1.26**
Ancho Ubre Trasera	Ancha	**+2.42**
Altura Ubre Trasera	Alta	**+2.09**
Ligamento Central	Fuerte	**+1.54**
Prof. Ubre	Poco Profundo	**+1.09**
Posición Pezones Delanteros	Cerrados	**+0.76**
Longitud de Pezones	Largos	**+0.83**
Posición Pezones Traseros	Cerrados	**+1.10**